

# Solución Numérica de la ecuación vectorial de Saint-Venant utilizando Métodos Híbridos

Autora

Martha Leticia Ruiz Zavala

Asesor

Dr. Francisco Javier Domínguez Mota



- 1 Antecedentes
  - Aguas someras
  
- 2 Métodos Numéricos
  - Mallas estructuradas
  - Diferencias Finitas
  - Volúmenes Finitos
  - Esquemas propuestos
  
- 3 Pruebas Numéricas
  - Condiciones de frontera
  - Cuadrado unitario
  
- 4 Conclusiones

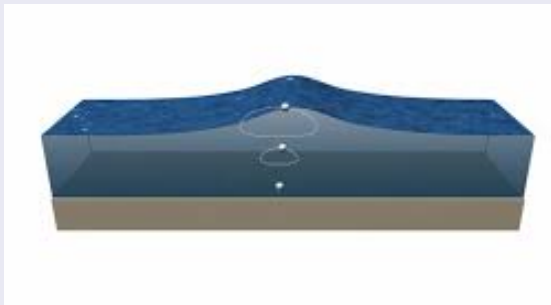
- 1 Antecedentes
  - Aguas someras
  
- 2 Métodos Numéricos
  - Mallas estructuradas
  - Diferencias Finitas
  - Volúmenes Finitos
  - Esquemas propuestos
  
- 3 Pruebas Numéricas
  - Condiciones de frontera
  - Cuadrado unitario
  
- 4 Conclusiones

# Características

## ¿Qué son?

Se dice que un cuerpo de agua es somero si su escala vertical  $S_v$  es mucho más pequeña que la horizontal  $S_h$ , al menos 20 veces, i.e.

$$\frac{S_v}{S_h} < 0.05.$$



# Supuestos de las ecuaciones

## Suponemos que..

- Veremos al fluido desde el punto de vista *Euleriano*.
- Se cumple la *Hipótesis del Continuo*.
- El fluido es *incompresible*.
- Se trata únicamente con *fluidos Newtonianos*.
- Se cumplen las ecuaciones de *conservación de masa y de momento*.

# Ecuaciones de Saint-Venant

## Ecuación de conservación de masa

$$\frac{\partial \rho}{\partial t} + \nabla \cdot (\rho \mathbf{U}) = 0.$$

## Ecuación de continuidad para fluidos incompresibles

$$\frac{\partial u}{\partial x} + \frac{\partial v}{\partial y} + \frac{\partial w}{\partial z} = 0. \quad (1)$$

## Ecuaciones de Saint-Venant

## Ecuación vectorial de conservación de momento

$$\rho \left[ \frac{\partial \mathbf{U}}{\partial t} + \mathbf{U} \cdot \nabla \mathbf{U} \right] = -\nabla p + \nabla \cdot \tau_{ij} + \mathbf{F}. \quad (2)$$

donde  $\rho$  es la densidad,  $\mathbf{U} = (u, v, w)'$  es el campo de velocidades,  $\tau_{ij}$  representa los esfuerzos generados por la viscosidad y  $\mathbf{F} = \rho(fv, -fu, -g)'$  denota las fuerzas volumétricas, con  $f$  la fuerza de Coriolis y  $g$  la gravedad.

## Ecuaciones de Saint-Venant 2D

## Ecuaciones conservativas de aguas someras

Integrando las ecuaciones en 3D sobre la profundidad, omitiendo los esfuerzos laterales y asumiendo una expresión más sencilla para los esfuerzos en el fondo en las ecuaciones, obtenemos las **ecuaciones conservativas de aguas someras en 2D**.

$$\begin{aligned} \frac{\partial h}{\partial t} + \frac{\partial}{\partial x}(au) + \frac{\partial}{\partial y}(av) &= 0, \\ \frac{\partial}{\partial t}(au) + \frac{\partial}{\partial x}(au^2) + \frac{\partial}{\partial y}(auv) - fav + ga\frac{\partial h}{\partial x} + c_f u\sqrt{u^2 + v^2} &= 0, \\ \frac{\partial}{\partial t}(av) + \frac{\partial}{\partial x}(auv) + \frac{\partial}{\partial y}(av^2) + fau + ga\frac{\partial h}{\partial y} + c_f v\sqrt{u^2 + v^2} &= 0. \end{aligned} \quad (3)$$



## Ecuaciones de Saint-Venant 2D

Ahora bien si hacemos el cambio de variables

$$q_1 = h, \quad q_2 = au, \quad q_3 = av,$$

pasando de las variables clásicas a las conservativas, obtenemos el sistema sobre el cual trabajaremos

$$\frac{\partial \mathbf{Q}}{\partial t} + \frac{\partial \mathbf{Q}_x}{\partial x} + \frac{\partial \mathbf{Q}_y}{\partial y} + \mathbf{G} = 0, \quad (4)$$

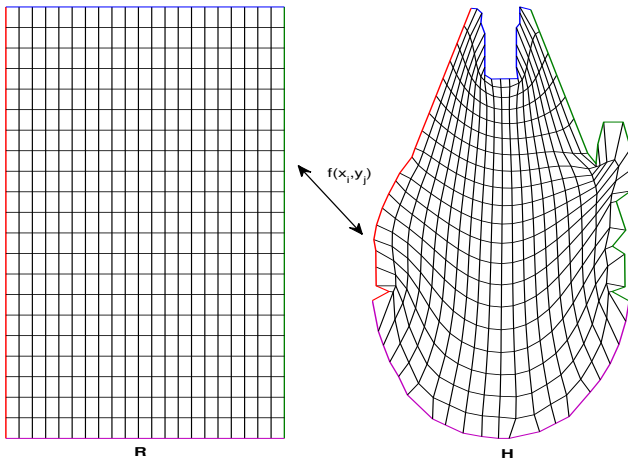
donde

$$\mathbf{Q} = \begin{pmatrix} q_1 \\ q_2 \\ q_3 \end{pmatrix}, \quad \mathbf{Q}_x = \begin{pmatrix} q_2 \\ \frac{q_2^2}{q_1} + \frac{g}{2} q_1^2 \\ \frac{q_2 q_3}{q_1} \end{pmatrix},$$

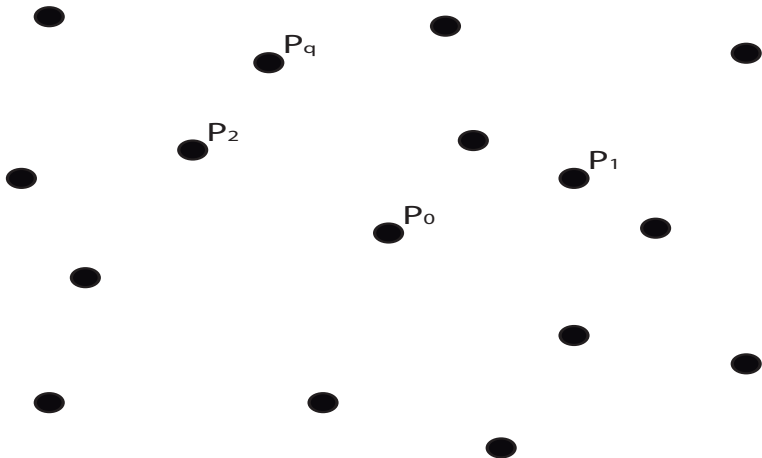
$$\mathbf{Q}_y = \begin{pmatrix} q_3 \\ \frac{q_2 q_3}{q_1} \\ \frac{q_3^2}{q_1} + \frac{g}{2} q_1^2 \end{pmatrix}, \quad \mathbf{G} = \begin{pmatrix} 0 \\ -fq_3 + c_f \frac{q_2}{(q_1 - Z_b)^2} \sqrt{q_2^2 + q_3^2} \\ fq_2 + c_f \frac{q_3}{(q_1 - Z_b)^2} \sqrt{q_2^2 + q_3^2} \end{pmatrix}.$$

- 1 Antecedentes
  - Aguas someras
- 2 **Métodos Numéricos**
  - Mallas estructuradas
  - Diferencias Finitas
  - Volúmenes Finitos
  - Esquemas propuestos
- 3 Pruebas Numéricas
  - Condiciones de frontera
  - Cuadrado unitario
- 4 Conclusiones

# ¿Qué es una malla estructurada?



# Diferencias Finitas Generalizadas



# Diferencias Finitas Generalizadas

## Operador lineal de segundo orden

Para aproximar una EDP de segundo orden, tomamos de manera general el operador lineal

$$Lu = A \frac{\partial^2 u}{\partial x^2} + B \frac{\partial^2 u}{\partial x \partial y} + C \frac{\partial^2 u}{\partial y^2} + D \frac{\partial u}{\partial x} + E \frac{\partial u}{\partial y} + Fu,$$

el cual buscamos aproximar en algún punto  $p_0$ , utilizando aproximaciones a los valores de la función  $u$  en sus  $q$ -vecinos. De modo que podemos escribir el esquema como la combinación lineal

$$L_0 = \Gamma_0 u(p_0) + \Gamma_1 u(p_1) + \dots + \Gamma_q u(p_q),$$

con  $\Gamma_j$  constantes.

# Diferencias Finitas Generalizadas

## Condición de consistencia

Para que la aproximación dada por este esquema se acerque a la solución, conforme los nodos  $q_i$  se acercan al nodo  $q_0$ , se debe cumplir la condición

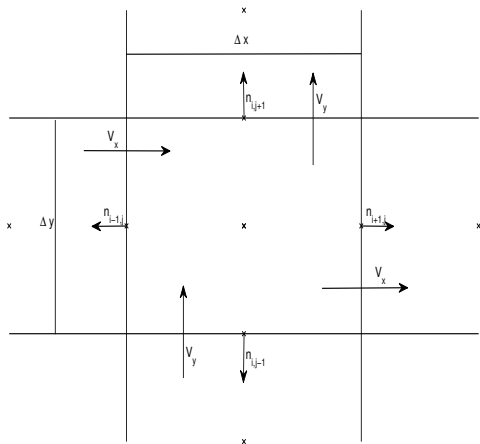
$$Lu|_{p_0} - \sum_{i=0}^q \Gamma_i u(p_i) \rightarrow 0.$$

Expandiendo en serie de Taylor hasta segundo orden la ecuación anterior, tenemos que esta se cumple si se satisface el sistema

$$\begin{pmatrix} 1 & 1 & \cdots & 1 \\ 0 & \Delta x_1 & \cdots & \Delta x_q \\ 0 & \Delta y_1 & \cdots & \Delta y_q \\ 0 & (\Delta x_1)^2 & \cdots & (\Delta x_q)^2 \\ 0 & \Delta x_1 \Delta y_1 & \cdots & \Delta x_q \Delta y_q \\ 0 & (\Delta y_1)^2 & \cdots & (\Delta y_q)^2 \end{pmatrix} \begin{pmatrix} \Gamma_0 \\ \Gamma_1 \\ \Gamma_2 \\ \cdot \\ \cdot \\ \Gamma_q \end{pmatrix} = \begin{pmatrix} F(p_0) \\ D(p_0) \\ E(p_0) \\ 2A(p_0) \\ B(p_0) \\ 2C(p_0) \end{pmatrix}.$$

Una vez calculados los valores de las  $\Gamma$ 's tenemos los pesos de cada uno de los nodos vecinos, los cuales nos dan el esquema en *diferencias finitas generalizadas*.

## Celda



# Leyes de conservación

Forma diferencial general de un sistema de leyes de conservación

$$\frac{\partial \mathbf{u}}{\partial t} + \sum_{j=1}^d \frac{\partial}{\partial x_j} (f_j(\mathbf{u})) = \mathbf{0}, \quad \mathbf{x} = (x_1, \dots, x_d) \in \mathbb{R}^d, \quad t > 0.$$

Forma integral de un sistema de leyes de conservación

$$\frac{d}{dt} \int_{x_{i-1}}^{x_i} \mathbf{u}(t, x) = f_j(t, u(x_{i-1})) - f_j(t, u(x_i)).$$



# Volúmenes Finitos Clásicos

## Volúmenes Finitos Clásicos

Tomando la forma integral de la *ley de conservación* e integrando en el intervalo temporal  $[t_n, t_{n+1}]$ , obtenemos una relación que nos indica cómo cambiará el valor promedio de  $u$  en un paso de tiempo posterior

$$\frac{1}{\Delta x} \int_{C_i} u(t_{n+1}, x) dx = \frac{1}{\Delta x} \int_{C_i} u(t_n, x) dx - \frac{1}{\Delta x} \left[ \int_{t_n}^{t_{n+1}} f(u(t, x_{i-1/2})) dt - \int_{t_n}^{t_{n+1}} f(u(t, x_{i+1/2})) dt \right]. \quad (5)$$

Si tomamos el valor promedio de la variable conservada  $u$  en la celda  $i$ -ésima

$$Q_i^n \approx \frac{1}{\Delta x} \int_{C_i} u(t_n, x) dx,$$

y tomamos  $\mathcal{F}$  como una función de flujo numérico

$$\mathcal{F}(Q_{i-1}^n, Q_i^n) \approx \frac{1}{\Delta t} \int_{t_n}^{t_{n+1}} f(u(t, x_{i-1/2})).$$

# Volúmenes Finitos Clásicos

## Método de volúmenes finitos clásicos

Si ponemos la relación (5) en términos de el promedio  $Q_j$  y del flujo numérico  $\mathcal{F}$ , obtenemos el esquema que aproxima el valor de la variable conservada en un tiempo futuro,

$$Q_i^{n+1} = Q_i^n - \frac{\Delta t}{\Delta x} [\mathcal{F}(Q_i^n, Q_{i+1}^n) - \mathcal{F}(Q_{i-1}^n, Q_i^n)]. \quad (6)$$

Dicho esquema dependerá de cómo se tome la función de flujo numérico  $\mathcal{F}$ .

## Esténciles

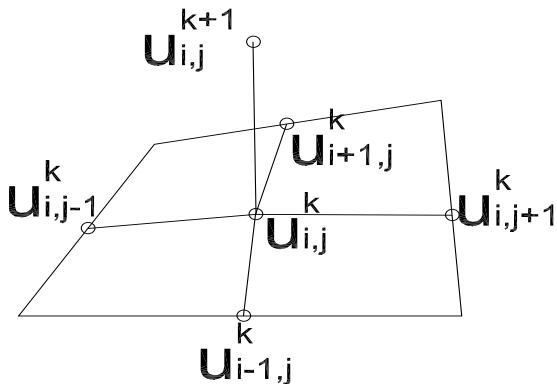


Figura: FTCS

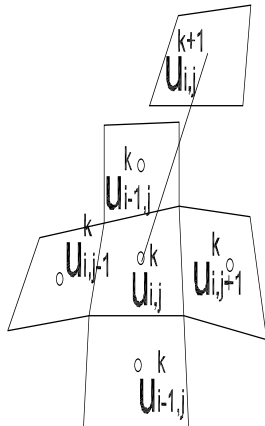
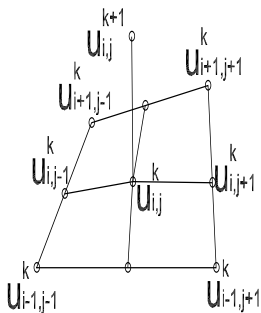
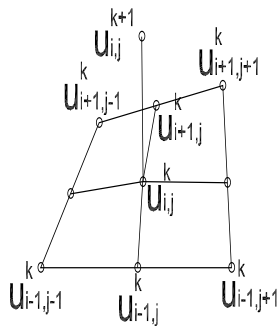


Figura: Volúmenes

## Esténciles

(a) Pesos para la parcial en  $x$ (b) Pesos para la parcial en  $y$

- 1 Antecedentes
  - Aguas someras
- 2 Métodos Numéricos
  - Mallas estructuradas
  - Diferencias Finitas
  - Volúmenes Finitos
  - Esquemas propuestos
- 3 Pruebas Numéricas
  - Condiciones de frontera
  - Cuadrado unitario
- 4 Conclusiones

# Condiciones de frontera

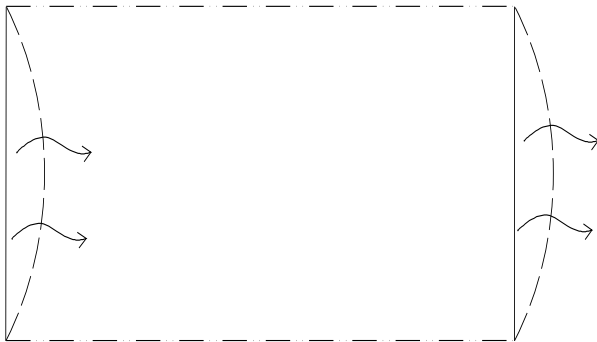


Figura: Condiciones de frontera vistas desde planta

# Discretización del cuadrado unitario

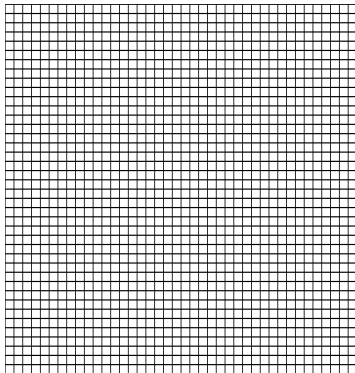


Figura: Malla uniforme con 41 puntos por lado



# Condición inicial “Solitón”

Solitón

video vol

# Ondas Airy

Ondas Airy

video vol

## Fallo promedios tipo Lax

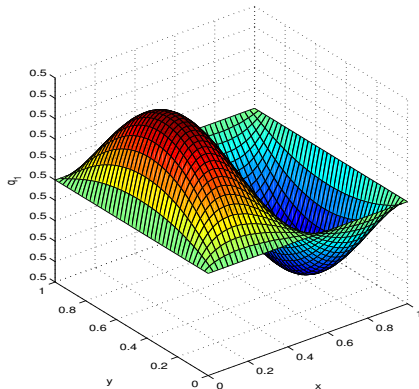


Figura: Aproximación del tirante

- 1 Antecedentes
  - Aguas someras
  
- 2 Métodos Numéricos
  - Mallas estructuradas
  - Diferencias Finitas
  - Volúmenes Finitos
  - Esquemas propuestos
  
- 3 Pruebas Numéricas
  - Condiciones de frontera
  - Cuadrado unitario
  
- 4 Conclusiones

# Conclusiones

## Conclusiones

- Se puede concluir que los esquemas propuestos, a excepción de promedios tipo Lax, reproducen la mecánica real del fenómeno de estudio, a pesar de las limitantes dadas por el poder de cómputo.
- Los esquemas propuestos se pueden aplicar a diversas regiones con geometrías no tan complicadas.
- Para optimizar los procesos se deben implementar los códigos en otros lenguajes de programación.

¡Gracias por no dormirse!

## Ecuaciones de Saint-Venant

## Ecuaciones de Saint-Venant 3D

Sustituyendo los gradientes de la presión en las ecuaciones restantes de (??) y dividiendo entre  $\rho$ , tenemos las ecuaciones

$$\begin{aligned} \frac{\partial u}{\partial t} + \frac{\partial}{\partial x}(u^2) + \frac{\partial}{\partial y}(uv) + \frac{\partial}{\partial z}(uw) + g \frac{\partial h}{\partial x} + \frac{g}{\rho_0}(h-z) \frac{\partial \rho}{\partial x} + \frac{1}{\rho_0} \frac{\partial P_a}{\partial x} + \\ - \frac{1}{\rho_0} \left[ \frac{\partial}{\partial x}(\tau_{xx}) + \frac{\partial}{\partial x}(\tau_{xy}) + \frac{\partial}{\partial x}(\tau_{xz}) \right] - fv = 0, \\ \frac{\partial v}{\partial t} + \frac{\partial}{\partial x}(uv) + \frac{\partial}{\partial y}(v^2) + \frac{\partial}{\partial z}(vw) + g \frac{\partial h}{\partial y} + \frac{g}{\rho_0}(h-z) \frac{\partial \rho}{\partial y} + \frac{1}{\rho_0} \frac{\partial P_a}{\partial y} + \\ - \frac{1}{\rho_0} \left[ \frac{\partial}{\partial x}(\tau_{yx}) + \frac{\partial}{\partial x}(\tau_{yy}) + \frac{\partial}{\partial x}(\tau_{yz}) \right] + fu = 0. \end{aligned} \quad (7)$$

Al juntar dichas ecuaciones con la *ecuación de continuidad para fluidos incompresibles* (1), obtenemos las “*Ecuaciones de Saint-Venant en 3D*”.